

Travaux dirigés- Série 2: Électricité II

Saidi

Faculté des Sciences, Rabat

September 20, 2013

Abstract

Electricité II
Travaux Dirigés: Série 2

Exercice I: *nappe de courant et discontinuité de \vec{B}*

On considère une nappe plane conductrice de courant, d'épaisseur ε négligeable et traversée par un courant uniforme. On prend, la nappe dans le plan xOy , avec $-\frac{\varepsilon}{2} \leq z \leq \frac{\varepsilon}{2}$, et le vecteur densité de courant $\vec{j} = \varepsilon \vec{j}_s$ avec courant surfacique $\vec{j}_s = j_s \vec{e}_x$.

- 1) Faire un schéma d'illustration,
- 2) En utilisant les règles de symétrie, déterminer:
 - a) Les variables dont dépendent le champ d'induction magnétique \vec{B} ,
 - b) Montrer que le champ \vec{B} est dirigé suivant \vec{e}_y (c'est à dire $\vec{B} = B \vec{e}_y$),
- 3) Pour calculer le composante B, on utilise le théorème d'Ampère,
 - a) Donner la forme de la courbe d'Ampère Γ , justifier,
 - b) En déduire l'induction magnétique \vec{B} en tout point $M(x, y, z)$,
- 4) Calculer la valeur de \vec{B} pour le cas $z = 0$,
- 5) Montrer que \vec{B} est discontinue,
- 6) Déterminer à une constante près le potentiel vecteur \vec{A} en tout point M de l'espace,
- 7) En déduire la constante dans le cas où \vec{A} est nul à l'origine.

Exercice II: *Solénoïde infini et calcul potentiel vecteur \vec{A}*

On considère un solénoïde \mathcal{S} infini d'axe \vec{OZ} , de base circulaire de rayon R , parcouru par un courant permanent I et ayant N spires par unité de longueur. On se propose de déterminer le champ d'induction magnétique $\vec{B}(M)$ et le potentiel vecteur $\vec{A}(M)$ en tout point M de l'espace.

- 1) Faire un schéma d'illustration,
- 2) En utilisant les règles de symétrie, déterminer:
 - a) Les variables dont dépendent le champ d'induction magnétique \vec{B} ,
 - b) La direction du champ \vec{B} ,
- 3) Pour calculer l'expression explicite du champ d'induction magnétique, on utilise le théorème d'Ampère,
 - a) Donner la forme de la courbe d'Ampère Γ , justifier le choix,
 - b) En déduire l'induction magnétique \vec{B} en tout point $M(x, y, z)$,
- 4) Montrer que \vec{B} est discontinue,

Pour déterminer le potentiel vecteur $\vec{A}(M)$, on utilisera une relation donnant sa circulation sur un contour fermé C que l'on déterminera.

- 5) En partant de la relation $\text{div } \vec{B} = 0$, montrer que $\oint_C \vec{A} \cdot d\vec{l} = \iint_S \vec{B} \cdot d\vec{S}$,
- 6) En utilisant les règles de symétries de la distribution de courant, donner:
 - a) La direction du champ \vec{A} et les variables dont ils dépendent,
 - b) Le choix de la courbe C pour le calcul de la circulation de \vec{A} , justifier,
- 7) Déterminer le potentiel vecteur \vec{A} en tout point de l'espace

Exercice III: Force magnétique et effet Hall

On veut déterminer le nombre n_e d'électrons de conduction que possède un atome de cuivre en utilisant l'effet Hall. Pour cela, on considère une plaquette rectangulaire $ABCD$ de cuivre dans le plan xOy , de longueur L ($0 \leq x \leq L$), de largeur a ($0 \leq y \leq a$), d'épaisseur b ($-\frac{b}{2} \leq z \leq \frac{b}{2}$) et traversée par une densité de courant surfacique uniforme $\vec{j} = j\vec{e}_x$. Cette plaquette est plongée dans un champ magnétique extérieur perpendiculaire $\vec{B} = B \vec{e}_z$. A l'équilibre, la tension de Hall mesurée entre les 2 bords de largeur de la plaquette est $U_H = 5.510^{-6}V$.

- 1) Faire un schéma d'illustration,
- 2) Décrire le phénomène physique observé, commenter,
- 3) Donner l'expression de la force \vec{F}_m subit par les électrons
- 4) Sous l'effet de la force magnétique, les électrons sont déviés, donner la direction du champ électrique \vec{E} induit
- 5) En déduire l'expression de la force totale subit par les électrons
- 6) Déterminer l'expression du champ \vec{E}_H à l'équilibre en fonction de la vitesse v et B
- 7) En déduire la valeur de v en fonction de I , a , b et la densité n_e des électrons,
- 8) Calculer le nombre n_e d'électrons en fonction de B, I, a, b et E_H
- 9) En déduire le nombre n_e en fonction de U_H ; on donne:

$$M_{mole}(cu) = 63g, \quad B = 1T\text{esla}, \quad b = 10^{-4}m, \quad \rho_{vol}(cu) = 9000kg/m^3$$

$$U_H = 5.510^{-6}V, \quad e = 1.610^{-19}C, \quad I = 10A, \quad N = 6.0210^{23} \text{ atomes/mole}$$

Exercice IV: Interaction magnétique entre fil infini et un cadre

Un fil rectiligne $z'z$ de longueur infinie est parcouru par un courant d'intensité I_1 . Dans un plan contenant $z'z$, on place un cadre carré $ABCD$ indéformable, de côté a , parcouru par un courant I_2 . Les côtés AB et CD sont parallèles à $z'z$. Soit y la distance qui sépare AB de $z'z$.

- 1) Faire un schéma,
- 2) Rappeler le champ magnétique \vec{B}_1 créé par le fil $z'z$
- 3) Déterminer la résultante des forces \vec{F}_{12} exercées par le fil sur le cadre
- 4) Retrouver l'expression de \vec{F}_{12} en utilisant la relation entre le travail et le flux magnétique

1 Solution de la série II

Exercice I: Nappe plane de courant

1) schema d'illustration

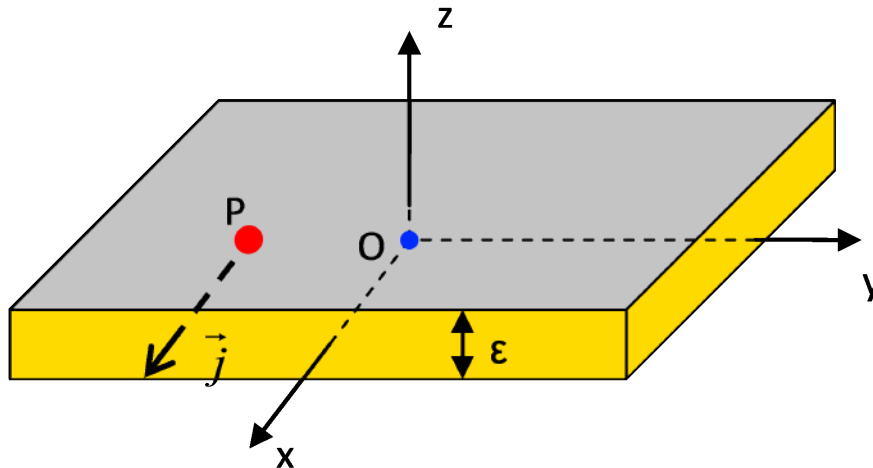


Figure 1: Nappe plane de courant $\vec{J} = j_s \vec{e}_x$.

2) Déterminer le champ d'induction magnétique \vec{B} en tout point M de l'espace
 a) 2 symetries de translations: suivant x et y

$$\vec{B}(M) = \begin{pmatrix} B_x(z) \\ B_y(z) \\ B_z(z) \end{pmatrix}$$

b) direction de \vec{B}

Le plan de la nappe (càd $\Pi_s = xOz$) est un plan de symetrie, donc

$$\vec{B} \perp \Pi_s \Rightarrow \vec{B} = B(z) \vec{e}_z$$

3) Théorème d'Ampère

$$\oint_{\Gamma} \vec{B} \cdot d\vec{l} = \mu_0 I$$

a) la courbe d'Ampère Γ est un rectangle rectangle $ABCD$ de surface S , dont le sens de parcours positif est comme indiqué sur la figure ??.

$$\text{surface de } ABCD = L_{AB} \times L_{BC} = \varepsilon \times L \quad , \quad \text{coté } BC=L$$

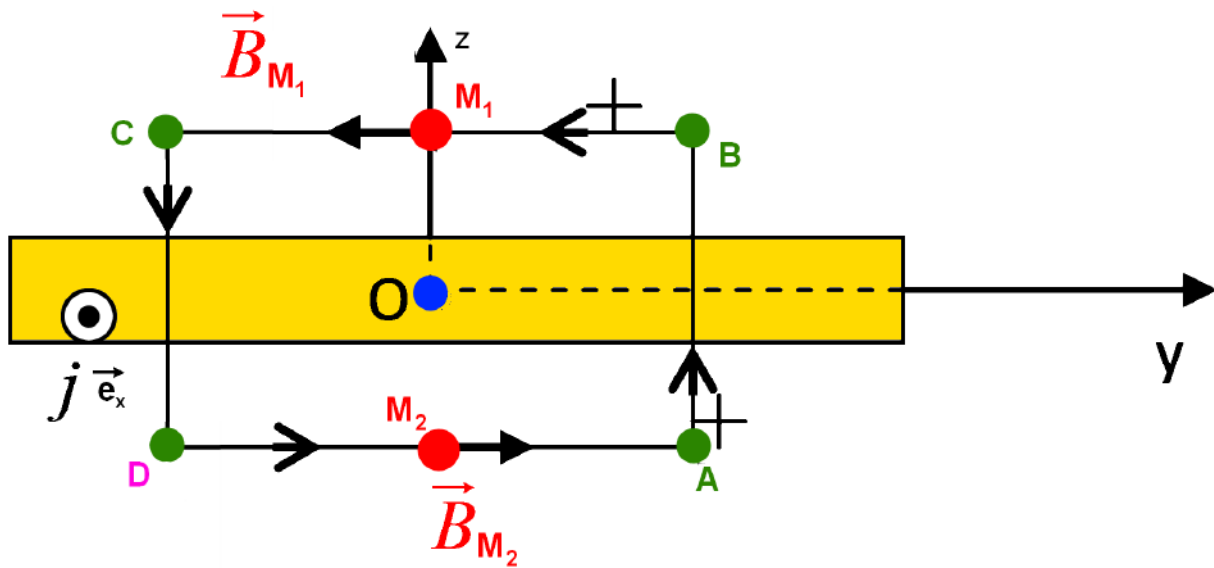


Figure 2: Contour d'Ampère.

Il passe par les points M_1 et M_2 , symétriques par rapport à la nappe b) *Calcul de la composante B*

i) calcul de $\oint_{\Gamma} \vec{B} \cdot d\vec{l}$

$$\begin{aligned}
 \oint_{\Gamma} \vec{B} \cdot d\vec{l} &= \oint_{\Gamma} B dy \\
 &= \left(\int_A^B + \int_B^C + \int_C^D + \int_D^A \right) B \\
 &= \int_B^C B dy + \int_C^D B dy \\
 &= -\int_B^C B dy + \int_D^A B dy \\
 &= 2BL
 \end{aligned}$$

avec

$$\int_D^A dy = -\int_B^C dy = L$$

ii) calcul de I

$$\begin{aligned}
 \mu_0 I &= \mu_0 \iint_S \vec{J} \cdot d\vec{S} \\
 &= \mu_0 J \times S, \quad \text{car } \vec{J} = J \vec{e}_x \\
 &= \mu_0 \underbrace{J \times \varepsilon}_{J_s} \times L = \mu_0 J_s \times L
 \end{aligned}$$

on a:

$$\begin{aligned}
 \mu_0 \iint_S \vec{J} \cdot d\vec{S} &= \mu_0 J \times S \\
 &= \mu_0 J \times \varepsilon \times L \\
 &= \mu_0 J_s \times L
 \end{aligned}$$

iii) résultat

$$\begin{aligned} 2BL = \mu_0 J_s L &\Rightarrow B = \frac{\mu_0 J_s}{2} = Cst \\ \vec{B}(M_1) &= -\frac{\mu_0 J_s}{2} \vec{e}_y \\ \vec{B}(M_2) &= \frac{\mu_0 J_s}{2} \vec{e}_y \end{aligned}$$

4) \vec{B} au point $z = 0$

Au point O, origine de l'espace, on distingue 2 plans de symétrie de la nappe

$$xOy \quad \text{et} \quad xOz$$

donc \vec{B} doit être perpendiculaire à ces 2 plans, c'est à dire

$$\vec{B} = \begin{pmatrix} 0 \\ 0 \\ B \end{pmatrix} \quad \text{et} \quad \vec{B} = \begin{pmatrix} 0 \\ B \\ 0 \end{pmatrix}$$

par conséquent \vec{B} à l'origine O, et pour $z = 0$ en général, ne peut être que nul

$$\vec{B}(z = 0) = \vec{0}$$

5) \vec{B} discontinue

\vec{B} est tangent à la nappe de courant; il doit donc vérifier la relation de continuité

$$\vec{B}_{1T}(M) - \vec{B}_{2T}(M) = \mu_0 \vec{J}_s(M) \wedge \vec{n}_{21}$$

avec

$$\vec{n}_{21} \quad \text{la normale orienté de 2 vers 1}$$

Dans notre cas

$$\vec{J}_s(M) = J_s \vec{e}_x \quad \text{et} \quad \vec{n}_{21} = \vec{e}_z$$

$$\vec{B}_{1T}(M) - \vec{B}_{2T}(M) = \mu_0 J_s \vec{e}_x \wedge \vec{e}_z = -\mu_0 J_s \vec{e}_y$$

ce qui est en accord avec

$$\vec{B}_1(M) - \vec{B}_2(M) = -\frac{\mu_0 J_s}{2} \vec{e}_y - \frac{\mu_0 J_s}{2} \vec{e}_y = -\mu_0 J_s \vec{e}_y$$

ou on a utilisé

$$\vec{B}(M_1) = -\frac{\mu_0 J_s}{2} \vec{e}_y \quad , \quad \vec{B}(M_2) = \frac{\mu_0 J_s}{2} \vec{e}_y$$

6) le potentiel vecteur \vec{A}

a) symetrie de translation suivant x et suivant y

$$\vec{A} = \begin{pmatrix} A_x(z) \\ A_y(z) \\ A_z(z) \end{pmatrix}$$

b) direction de \vec{A} :

$yOz = \Pi_a$ est un plan d'antisymetrie

$$\vec{A} \perp \Pi_a \quad \Rightarrow \quad \vec{A}(z) = \begin{pmatrix} A_x(z) \\ 0 \\ 0 \end{pmatrix}$$

c) Expression de \vec{A}

De la relation $\vec{B} = \text{rot}\vec{A}$, on obtient

$$\begin{vmatrix} 0 \\ B(z) \\ 0 \end{vmatrix} = \begin{vmatrix} \frac{\partial}{\partial x} \\ \frac{\partial}{\partial y} \\ \frac{\partial}{\partial z} \end{vmatrix} \wedge \begin{vmatrix} A(z) \\ 0 \\ 0 \end{vmatrix} = \begin{vmatrix} 0 \\ \frac{\partial A}{\partial z} \\ 0 - 0 \end{vmatrix}$$

d'où

$$A = \int B dz$$

Trois cas à distinguer:

(i) $z > 0$

$$B(z) = -\frac{\mu_0 J_s}{2} \quad \Rightarrow \quad A(z) = -\frac{\mu_0 J_s}{2} z + C_1$$

(ii) $z < 0$

$$B(z) = \frac{\mu_0 J_s}{2} \quad \Rightarrow \quad A(z) = \frac{\mu_0 J_s}{2} z + C_2$$

(iii) $z = 0$

$$B = 0 \quad \Rightarrow \quad A(0) = C_3$$

7) cas où \vec{A} est nul à l'origine.

$$A(0) = C_3 = 0$$

la continuité de A exige que les constantes soient nulles,

$$\lim_{z \rightarrow 0^\pm} A(z) = 0 \quad \Rightarrow \quad C_1 = C_2 = 0$$

Exercice II

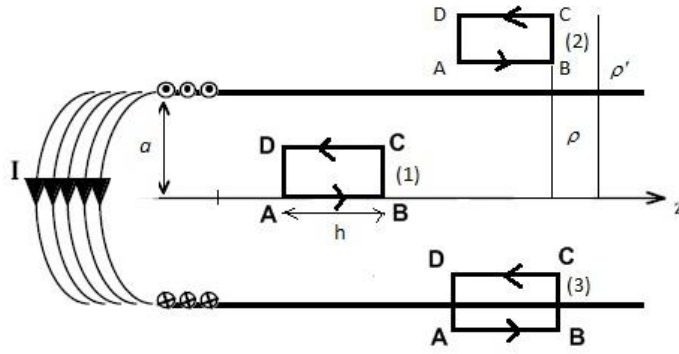


Figure 3: *théorème d'Ampère appliqué au solénoïde infini d'axe \vec{OZ}*

1) schéma d'illustration: voir fig 3

2) règles de symétrie:

a) La symétrie cylindrique de \mathbb{S} implique: $\vec{B}(M) = \vec{B}(\rho)$

b) La direction du champ \vec{B}

$\Pi_s = (\vec{e}_\rho, \vec{e}_\varphi)$ est un plan de symétrie du solénoïde:

$$\vec{B} \perp \vec{e}_z \Rightarrow \vec{B}(\rho) = B(\rho) \vec{e}_z$$

3) expression explicite de \vec{B}

a) courbe d'Ampère Γ :

rectangles ABCD comme dans la figure

Selon le choix de Γ , on distingue trois cas:

i) cas du contour (1)

Pas de courant qui traverse la surface délimitée par le contour,

$$\int \vec{B} \cdot \vec{dl} = 0$$

D'autre part, on a:

$$\begin{aligned} \int \vec{B} \cdot \vec{dl} &= \int_{AB} B \vec{e}_z \cdot \vec{dl} + \underbrace{\int_{BC} B \vec{e}_z \cdot \vec{dl}}_{=0} + \int_{CD} B \vec{e}_z \cdot \vec{dl} + \underbrace{\int_{DA} B \vec{e}_z \cdot \vec{dl}}_{=0} \\ &= \int_{AB} B dz - \int_{CD} B dz \\ &= (B_{AB} - B_{CD}) \times h \end{aligned}$$

Donc le champ \vec{B} à l'intérieur du solénoïde infini est uniforme

$$B_{AB} = B_{CD} = \mu_0 NI$$

ii) cas du contour (2)

On obtient le même résultat $(B_{AB} - B_{CD}) \times h = 0$ que pour le cas précédent, c'est à dire un champ uniforme à l'extérieur. Mais comme ce champ doit être nul à l'infini, on en déduit qu'il est nul partout.

$$B_{AB} = B_{CD} = 0$$

on redécouvrera ce résultat dans le cas suivant.

iii) cas du contour (3)

Dans ce cas, la surface délimitée par le contour est traversée par $N \times h$ courants entrants; par suite nous avons par un calcul similaire auparavant:

$$(B_{AB} - B_{CD}) \times h = -\mu_0 NI \times h \Rightarrow B_{AB} - B_{CD} = -\mu_0 NI$$

Comme on sait que le terme $B_{CD} = \mu_0 NI$, il en découle que le champ d'induction B_{AB} à l'extérieur du solénoïde est nul.

$$B_{AB} = 0$$

iv) Conclusion

$$\vec{B}(\rho) = \begin{cases} \mu_0 NI \vec{e}_z & , \quad 0 \leq \rho < R \\ 0 & , \quad \rho > R \end{cases}$$

4) \vec{B} est discontinue:

$$\vec{B}_{1T}(M) - \vec{B}_{2T}(M) = \mu_0 \vec{J}(M) \wedge \vec{n}_{21}$$

comme

$$\vec{n}_{21} = -\vec{e}_\rho, \quad \vec{j} = NI \vec{e}_\varphi$$

on a bien la relation

$$\begin{aligned} \vec{B}_{1T} - \vec{0} &= -\mu_0 NI \vec{e}_\varphi \wedge \vec{e}_\rho \\ &= \mu_0 NI \vec{e}_z \end{aligned}$$

5) En partant de la relation

$$\text{div } \vec{B} = 0 \Rightarrow \vec{B} = \text{rot } \vec{A}$$

par integration sur une surface S s'appuiant sur un contour C ,

$$\begin{aligned}\iint_S \vec{B} &= \iint_S \text{rot } \vec{A} \\ &= \oint_C \vec{A} \cdot \vec{dl}\end{aligned}$$

6) règles de symetries de la distribution de courant

a) La symétrie cylindrique de S implique: $\vec{A}(M) = \vec{A}(\rho)$

La direction du champ \vec{A}

$\Pi_a = (\vec{e}_\rho, \vec{e}_z)$ est un plan d'antisymétrie du solénoïde

$$\vec{A} \perp \vec{e}_\varphi \Rightarrow \vec{A}(\rho) = A(\rho) \vec{e}_\varphi$$

b) La courbe C est un cercle de rayon ρ et d'axe \vec{Oz}

Justification, elle est dictée par la symétrie cylindrique car

$$\begin{aligned}\oint_C \vec{A} \cdot \vec{dl} &= \oint_C A \rho d\varphi \\ &= A \oint_C \rho d\varphi \text{ car } A \text{ ne dépend pas de } \varphi \\ &= 2\pi\rho A\end{aligned}$$

7) Le potentiel vecteur \vec{A} en tout point de l'espace

on applique la relation

$$\oint_C \vec{A} \cdot \vec{dl} = \iint_S \vec{B} \cdot \vec{dS}$$

ce qui conduit à:

$$\begin{aligned}A &= \frac{1}{2\pi\rho} \iint_S \vec{B} \cdot \vec{dS} \\ &= \frac{1}{2\pi\rho} \iint_S B \times \rho d\rho d\varphi\end{aligned}$$

2 cas à distinguer selon la valeur de \vec{B} ; càd:

$$\vec{B}(\rho) = \begin{cases} \mu_0 NI \vec{e}_z & , \quad 0 \leq \rho < R \\ 0 & , \quad \rho > R \end{cases}$$

On a:

i) $\rho > R$

$$\begin{aligned}A(\rho) &= \frac{1}{2\pi\rho} \iint_S B \rho d\rho d\varphi \\ &= \frac{B}{2\rho} R^2 = \mu_0 NI \frac{R^2}{2\rho}\end{aligned}$$

ii) $\rho < R$

$$\begin{aligned}A(\rho) &= \frac{1}{2\pi\rho} \iint_S B \rho d\rho d\varphi \\ &= \frac{B}{2} \rho = \mu_0 NI \frac{\rho}{2}\end{aligned}$$

Exercice III: *Effet Hall classique*

1) schéma d'illustration: voir fig 4,

un electron de la plaquette du plan xOy de vitesse \vec{v} se déplace suivant \vec{e}_x sous

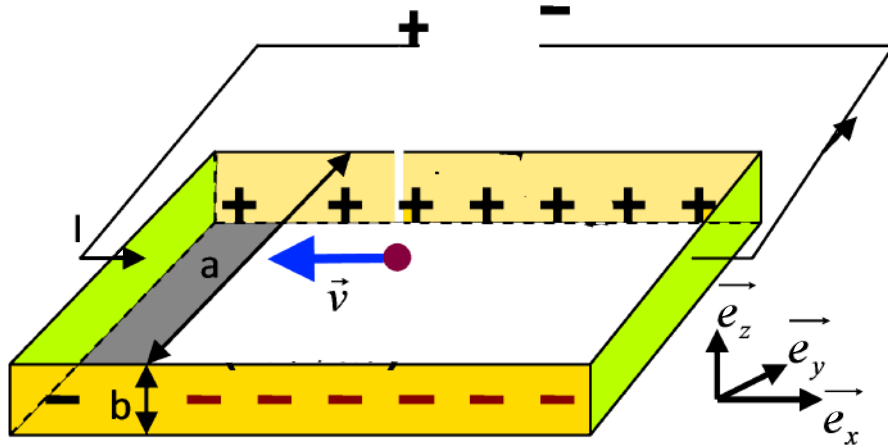


Figure 4: plaque rectangulaire normale à \vec{e}_z de largeur a , d'épaisseur b et de longueur suffisamment grande.

l'effet d'une ddp aux induite par la ddp aux bords $x = 0$ et $x = L$ de la plaquette fournie par un générateur de courant dont le sens est comme désigné sur la figure.

On a:

$$\vec{v} = v\vec{e}_x, \quad v = -|v| \text{ dans le schéma}$$

2) phénomène physique observé: Effet Hall

Cette effet a une version classique et une version quantique selon l'intensité du champ magnétique extérieur \vec{B} .

Pour des valeurs du champ magnétique \vec{B} relativement petites; le phénomène observé est comme suit, voir fig 5:

a) deviation des électrons sous l'action de \vec{B}

b) naissance d'un déficit de charge électrique aux 2 bords de la plaquette

c) apparition d'une ddp aux 2 bords de la largeur de la plaquette: A l'équilibre cette tension est la tension de Hall U_H qui induit un champ électrique \vec{E}_H

3) Force magnétique:

Sous l'effet de \vec{B} , l'électron de vitesse $\vec{v} = v\vec{e}_x$ est soumis à la force

$$\begin{aligned} \vec{F}_m &= -e\vec{v} \wedge \vec{B}, \quad e = |e| = 1.60217733 \times 10^{-19} \text{ C} \\ &= evB\vec{e}_y \end{aligned}$$

7) vitesse de déplacement des électrons: $\vec{v} = -|v| \vec{e}_x$

elle est obtenue en calculant l'expression du courant électrique I de deux façons et en comparant les résultats.

a) D'une part

$$I = \int \vec{J} d\vec{S} = JS = Jab$$

soit

$$J = \frac{I}{ab}$$

ii) d'autre part

$$\begin{aligned} \vec{J} = \rho \vec{v} &= -ne\vec{v} = ne|v| \vec{e}_x \\ &= J\vec{e}_x \end{aligned}$$

ce qui donne

$$ne|v| = \frac{I}{ab}$$

d'où

$$|v| = \frac{I}{abne}$$

8) Le champ E_H découle de la relation

$$E_H = vB, \quad v = \frac{-I}{abne}$$

soit

$$E_H = \frac{-IB}{abne}$$

d'où

$$n = \frac{-IB}{eabE_H}$$

De la relation entre le potentiel électrique U et le champ

$$E = -\text{grad} U \quad \Longrightarrow \quad U = -\int \vec{E} \cdot \vec{dl}$$

on tire

$$\begin{aligned} U_H &= -\int \vec{E}_H \cdot \vec{dl} \\ &= -E_H \int_0^a dy \\ &= -aE_H \end{aligned}$$

9) Nombre de e^- par unité de volume et par atome de Cu:

de la relation

$$n = \frac{-IB}{ebaE_H}$$

on tire

$$n = \frac{IB}{ebU_H}$$

Application numérique

$$\begin{aligned} b &= 10^{-4}m & , & \quad \rho_{vol}(cu) &= 9000kg/m^3 \\ I &= 10A & , & \quad m_{mole}(cu) &= 63g \\ B &= 1Tesla & , & \quad e &= 1.610^{-19}C \\ U_H &= 5.510^{-6}V & , & \quad N &= 6.0210^{23} \text{ atomes/mole} \end{aligned}$$

$$\begin{aligned} n &= \frac{10A \times 1Tesla}{1.610^{-19}C \times 10^{-4}m \times 5.510^{-6}V} \\ &= 1.14 \times 10^{29} e^-/m^3 \end{aligned}$$

Le nombre d'atomes par m^3

$$\begin{aligned} \frac{m_{vol} \times N}{m_{mole}} &= \frac{9000kg/m^3 \times 6.0210^{23} \text{ atomes/mole}}{63 \times 10^{-3}kg} \\ &= 8,6 \times 10^{28} \text{ atomes/m}^3 \end{aligned}$$

Le nombre d'électrons par atome est alors

$$\frac{1.14 \times 10^{29} e^-/m^3}{8,6 \times 10^{28} \text{ atomes/m}^3} = 1.33 e^-/\text{atome}$$

Exercice IV: interaction entre conducteurs

1) Schéma d'illustration

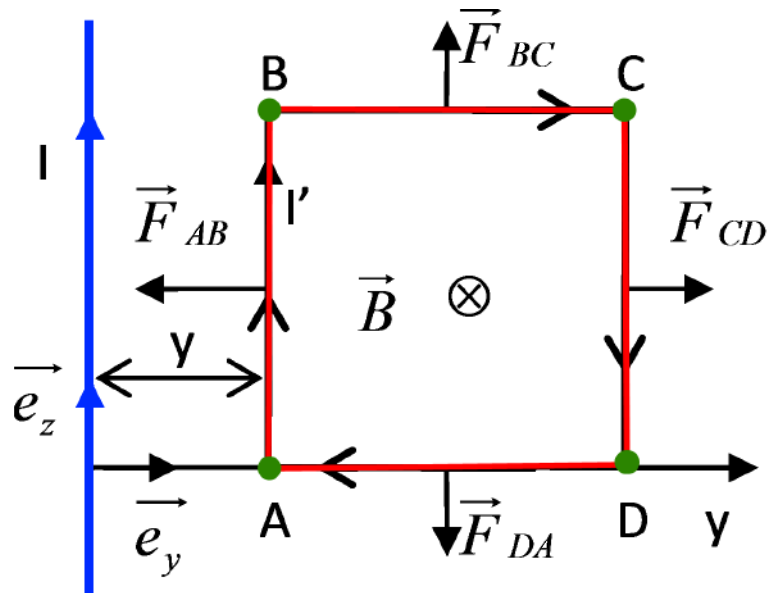


Figure 6: force magnétique exercée par un fil sur un cadre

2) Expression du champ \vec{B}_1 créée par le fil

$$\vec{B}_1 = \frac{\mu_0 I_1}{2\pi\rho} \vec{e}_\varphi$$

3) Force \vec{F}_{12} exercée par le fil sur le cadre ABCD.

On a 2 conducteurs:

- Un fil infini parcouru par un courant I_1 créant un champ magnétique \vec{B}_1 ,
- Un cadre $ABCD$ dans le plan (ρ, φ) parcouru par un courant I_2 créant un champ magnétique \vec{B}_2 :

En général on a:

Force \vec{F}_{12} exercée par \vec{B}_1 sur le cadre $ABCD$ parcouru par I_2

Force \vec{F}_{21} exercée par \vec{B}_2 sur le fil parcouru par I_1

$$\vec{F}_{12} + \vec{F}_{21} = \vec{0}$$

Pour faire le calcul de \vec{F}_{12} , on prendra l'exemple où le cadre $ABCD$ dans le plan yOz ; c'est à dire $\varphi = \frac{\pi}{2}$. Dans ce cas le plan $(\vec{e}_\rho, \vec{e}_\varphi)$ coïncide avec $(\vec{e}_y, -\vec{e}_x)$ càd:

$$\begin{aligned} \vec{e}_\rho &= \vec{e}_y \\ \vec{e}_x &= -\vec{e}_\varphi \end{aligned}$$

et

$$\begin{aligned} \vec{B}_1 &= -\frac{\mu_0 I_1}{2\pi y} \vec{e}_x \\ \vec{B}_1 &= \frac{-b}{y} \vec{e}_x, \quad b = \frac{\mu_0 I_1}{2\pi} \end{aligned}$$

Par définition la force \vec{F}_{12} exercée par \vec{B} sur le cadre est

$$\begin{aligned} \vec{F}_{12} &= \int_{ABCD} I_2 \vec{dl} \wedge \vec{B}_1 \\ &= \vec{F}_{AB} + \vec{F}_{BC} + \vec{F}_{CD} + \vec{F}_{DA} \end{aligned}$$

soit

$$\begin{aligned} \vec{F}_{AB} &= \int_{AB} I_2 \vec{dl} \wedge \vec{B}_1 \\ \vec{F}_{BC} &= \int_{BC} I_2 \vec{dl} \wedge \vec{B}_1 \\ \vec{F}_{CD} &= \int_{CD} I_2 \vec{dl} \wedge \vec{B}_1 \\ \vec{F}_{DA} &= \int_{DA} I_2 \vec{dl} \wedge \vec{B}_1 \end{aligned}$$

avec

$$\begin{aligned} \int_{AB} I_2 \vec{dl} \wedge \vec{B}_1 &= -I_2 b \int_0^a \frac{dz}{y} \vec{e}_z \wedge \vec{e}_x &= -I_2 \frac{ab}{y} \vec{e}_y \\ \int_{BC} I_2 \vec{dl} \wedge \vec{B}_1 &= -I_2 b \int_y^{y+a} \frac{dy}{y} \vec{e}_y \wedge \vec{e}_x &= I_2 b \ln \frac{y+a}{y} \vec{e}_z \\ \int_{CD} I_2 \vec{dl} \wedge \vec{B}_1 &= -I_2 b \int_a^0 \frac{dz}{y+a} \vec{e}_z \wedge \vec{e}_x &= I_2 \frac{ab}{y+a} \vec{e}_y \\ \int_{DA} I_2 \vec{dl} \wedge \vec{B}_1 &= -I_2 b \int_{y+a}^y \frac{dy}{y} \vec{e}_y \wedge \vec{e}_x &= -I_2 b \ln \frac{y+a}{y} \vec{e}_z \end{aligned}$$

Noter que

$$\vec{F}_{BC} = -\vec{F}_{DA}$$

La résultante des forces \vec{F} agissant sur le cadre est

$$\begin{aligned}\vec{F} &= \vec{F}_{AB} + \vec{F}_{CD} \\ &= -I_2 ab \left(\frac{1}{y} - \frac{1}{y+a} \right) \vec{e}_y \\ &= \frac{-\mu_0 I_1 I_2 a^2}{2\pi y(y+a)} \vec{e}_y\end{aligned}$$

Si le cadre était libre, il serait attiré vers le fil c'est-à-dire vers la région où est plus intense pour que le flux de B à travers le cadre soit maximum (*règle du flux maximal*)

4) Autre méthode

Le travail des forces magnétiques pour un déplacement virtuel dy du cadre est:

$$dW = \begin{cases} \vec{F} \cdot \vec{dl} = F dy \\ I_2 d\Phi \end{cases} \Rightarrow F = I_2 \frac{d\Phi}{dy}$$

Le flux magnétique est

$$\begin{aligned}\Phi &= \iint \vec{B} \cdot \vec{dS} \\ &= - \iint (\vec{B} \cdot \vec{e}_x) dz dy \\ &= - \int_0^a dz \int_y^{y+a} \frac{-b dy}{y} \\ &= ab \ln \frac{y+a}{y}\end{aligned}$$

$$\begin{aligned}\frac{d\Phi}{dy} &= ab \left(\frac{1}{y+a} - \frac{1}{y} \right) = \frac{-\mu_0 I_1 a^2}{2\pi y(y+a)} \\ F &= \frac{-\mu_0 I_1 I_2 a^2}{2\pi y(y+a)}\end{aligned}$$